

# FARMACOPÉIA BRASILEIRA

6ª EDIÇÃO



Agência Nacional de Vigilância Sanitária - Anvisa

Agência Nacional de Vigilância Sanitária

# Farmacopeia Brasileira, 6ª edição

Volume II – Monografias

Plantas Medicinais

Brasília  
2019

**PLANTAS MEDICINAIS**

ABACATEIRO, folha	PM001-00
ACÔNITO, raiz	PM002-00
ALCACHOFRA, folha	PM003-00
ALCAÇUZ, raiz	PM004-00
ALHO, bulbo	PM005-00
ALOE, exsudato seco	PM006-01
ALTEIA, raiz	PM007-00
AMEIXA, fruto	PM008-00
ANGICO, casca	PM009-00
ANIS-DOCE, fruto	PM010-00
ANIS-ESTRELADO, fruto	PM011-00
ARNICA, flor	PM012-00
AROEIRA, casca	PM013-00
BABOSA, folha	PM014-00
BÁLSAMO-DE-TOLU	PM015-00
BÁLSAMO-DO-PERU	PM016-00
BARBATIMÃO, casca	PM017-00
BAUNILHA, fruto	PM018-00
BELADONA, folha	PM019-00
BENJOIM	PM020-00
BOLDO, folha	PM021-00
CALÊNDULA, flor	PM022-01
CAMOMILA, flor	PM023-00
CANELA-DA-CHINA, casca	PM024-00
CANELA-DO-CEILÃO, casca	PM025-00
CAPIM-LIMÃO, folha	PM026-00
CARDAMOMO, semente	PM027-00
CARQUEJA, caule alado	PM028-00
CÁSCARA-SAGRADA, casca	PM029-00
CASTANHA-DA-ÍNDIA, semente	PM030-00
CENTELA, folha	PM031-00
CHAMBÁ, folha	PM032-00
CHAPÉU-DE-COURO, folha	PM033-00
COENTRO, fruto	PM034-00
CRATEGO, folha e flor	PM035-01
CRAVO-DA-ÍNDIA, botão floral	PM036-00
CÚRCUMA, rizoma	PM037-01
ENDRO, fruto	PM038-00
ESPINHEIRA-SANTA, folha	PM039-00
ESTÉVIA, folha	PM040-00
ESTRAMÔNIO, folha	PM041-00

---

EUCALIPTO, folha	PM042-00
FUNCHO-AMARGO, fruto	PM043-00
FUNCHO-DOCE, fruto	PM044-00
GARRA-DO-DIABO, raiz	PM045-00
GENCIANA, rizoma e raiz	PM046-00
GENGIBRE, rizoma	PM047-00
GOIABEIRA, folha	PM048-00
GUACO-CHEIROSO, folha	PM049-00
GUARANÁ, semente	PM050-00
HAMAMELIS, folha	PM051-00
HIDRASTE, rizoma e raiz	PM052-00
HORTELÃ-DO-BRASIL, parte aérea	PM053-00
HORTELÃ-PIMENTA, folha	PM054-00
JALAPA, raiz	PM055-00
JUCÁ, casca	PM056-00
JUCÁ, fruto	PM057-00
LARANJA-AMARGA, exocarpo	PM058-00
MACELA, flor	PM059-00
MALVA, flor	PM060-00
MARACUJÁ-AZEDO, folha	PM061-01
MARACUJÁ-DOCE, folha	PM062-01
MEIMENDRO, folha	PM063-00
MELISSA, folha	PM064-01
NOZ-DE-COLA, semente	PM065-00
NOZ-VÔMICA, semente	PM066-00
PITANGUEIRA, folha	PM067-01
PLANTAGO, testa	PM068-00
POLÍGALA, raiz	PM069-00
QUEBRA-PEDRA, parte aérea	PM070-00
QUEBRA-PEDRA, parte aérea	PM071-00
QUILAIA, casca	PM072-00
QUINA-AMARELA, casca	PM073-00
RATÂNIA, raiz	PM074-00
RAUVOLFIA, raiz	PM075-00
RUIBARBO, rizoma e raiz	PM076-01
SABUGUEIRO-DO-BRASIL, flor	PM077-01
SABUGUEIRO, flor	PM078-01
SALGUEIRO-BRANCO, casca	PM079-00
SENE, folha	PM080-01
SENE, fruto	PM081-00
UVA-URSI, folha	PM082-00
VALERIANA, rizoma e raiz	PM083-00

## PREPARAÇÕES VEGETAIS – TINTURAS

ACÔNITO, tintura	PM084-00
ANGICO, tintura	PM085-00
ANIS-ESTRELADO, tintura	PM086-00
AROEIRA, tintura	PM087-00
BÁLSAMO-DE-TOLU, tintura	PM088-00
BAUNILHA, tintura	PM089-00
BENJOIM, tintura	PM090-00
BOLDO, tintura	PM091-00
CALÊNDULA, tintura	PM092-00
CAMOMILA, tintura	PM093-00
CANELA-DO-CEILÃO, tintura	PM094-00
CÁSCARA-SAGRADA, tintura	PM095-00
CASTANHA-DA-ÍNDIA, tintura	PM096-00
CÚRCUMA, tintura	PM097-00
GENCIANA, tintura	PM098-00
GUARANÁ, tintura	PM099-00
HAMAMELIS, tintura	PM100-00
JABORANDI, tintura	PM101-00
LARANJA-AMARGA, tintura	PM102-00
NOZ-VÔMICA, tintura	PM103-00
RATÂNIA, tintura	PM104-00
VALERIANA, tintura	PM105-00

## PREPARAÇÕES VEGETAIS – EXTRATO FLUIDO

ALCACHOFRA, extrato fluido	PM106-00
ALCAÇUZ, extrato fluido	PM107-00
AMEIXA, extrato fluido	PM108-00
ANGICO, extrato fluido	PM109-00
AROEIRA, extrato fluido	PM110-00
BOLDO, extrato fluido	PM111-00
CALÊNDULA, extrato fluido	PM112-00
CANELA-DO-CEILÃO, extrato fluido	PM113-00
CÁSCARA-SAGRADA, extrato fluido	PM114-00
CASTANHA-DA-ÍNDIA, extrato fluido	PM115-00
CRATEGO, extrato fluido	PM116-00
GENCIANA, extrato fluido	PM117-00
GUARANÁ, extrato fluido	PM118-00
HAMAMELIS, extrato fluido	PM119-00
LARANJA-AMARGA, extrato fluido	PM120-00
NOZ-DE-COLA, extrato fluido	PM121-00
NOZ-VÔMICA, extrato fluido	PM122-00
RATÂNIA, extrato fluido	PM123-00
VALERIANA, extrato fluido	PM124-00

## ÓLEOS, GORDURAS E CERAS

ALECRIM, óleo	PM125-00
ALGODÃO, óleo refinado	PM126-00
ANIS-DOCE, óleo	PM127-00
CAMOMILA, óleo	PM128-00
CANELA-DA-CHINA, óleo	PM129-00
CANELA-DO-CEILÃO, óleo	PM130-00
CAPIM-LIMÃO, óleo	PM131-00
CERA DE CARNAÚBA	PM132-00
COENTRO, óleo	PM133-00
CRAVO-DA-ÍNDIA, óleo	PM134-00
EUCALIPTO, óleo	PM135-00
EUCALIPTO-LIMÃO, óleo	PM136-00
FUNCHO, óleo	PM137-00
GIRASSOL, óleo refinado	PM138-00
HORTELÃ-DO-BRASIL, óleo	PM139-00
HORTELÃ-PIMENTA, óleo	PM140-00
LARANJA-AMARGA, óleo	PM141-00
LARANJA-DOCE, óleo	PM142-00
LIMÃO, óleo	PM143-00
MANTEIGA DE CACAU	PM144-00
MELALEUCA, óleo	PM145-00
NOZ-MOSCADA, óleo	PM146-00
OLIVA, óleo virgem	PM147-00
PALMA-ROSA, óleo	PM148-00
TOMILHO, óleo	PM149-00

## SABUGUEIRO-DO-BRASIL, flor

### *Sambucus australis flos*

A droga vegetal consiste de flores secas de *Sambucus australis* Cham. & Schldl., contendo, no mínimo, 2,0% de flavonoides totais, expressos em quercetina e, no mínimo, 0,8% de rutina.

#### CARACTERÍSTICAS

As flores secas têm odor leve e aromático característico.

#### IDENTIFICAÇÃO

##### A. Descrição macroscópica

Flores amareladas pela dessecação, pentâmeras ou tetrâmeras, estaminadas, com estames longos ou pistiladas, com estames curtos, medindo 7 a 10 mm de diâmetro, cada uma apresentando três diminutas brácteas verdes, distribuídas no pedicelo e/ou receptáculo em diferentes alturas, visíveis com lente de aumento. Brácteas papilosas com tricomas tectores e glandulares na porção basal da face adaxial. Botões florais globosos, esbranquiçados ou amarronzados, medindo 1 a 3 mm de diâmetro. Cálice com sépalas amarelo-esverdeadas, triangular-ovaladas, medindo 1 a 1,5 mm de comprimento e 1 mm de largura na porção basal, levemente soldadas entre si na base, com tricomas tectores e glandulares abundantes na porção basal da face adaxial e sem dentes marginais. Corola amarelada, rotada, com pétalas soldadas entre si na base em um curto tubo. Pétalas ovaladas a elípticas, de ápice retrorso, medindo 2,5 a 5 mm de comprimento e 1,5 a 3 mm de largura. Androceu formado por cinco ou quatro estames, dispostos alternadamente às pétalas, com filetes aderidos ao tubo da corola. Anteras ditecas, extrorsas, dorsifixas, oblongas, deiscentes nas flores estaminadas e indeiscentes nas flores pistiladas, de coloração amarela, com 1 mm de comprimento. Filetes glabros e cilíndricos, curtos nas flores pistiladas, com 1 a 2 mm de comprimento e longos nas flores estaminadas, com 3 a 4 mm de comprimento. Ovário ínfero, soldado ao tubo calicino, pentacarpelar ou tetracarpelar, raro tricarpelar, pentalocular ou tetralocular, raro trilocular, com carpelos bem demarcados, com um rudimento seminal por lóculo, de placentação axial. Gineceu globoso e papiloso, com um curto estilete e estigma pentalobado. Um disco anelado e proeminente envolve a base do gineceu.

##### B. Descrição microscópica

Brácteas, sépalas e pétalas são anfiestomáticas, hipostomáticas e anfi-hipostomáticas respectivamente; os estômatos são do tipo anomocítico; em vista frontal, a cutícula apresenta estrias; tricomas tectores e glandulares ocorrem na base da face adaxial; em secção transversal, a cutícula é estriada, a epiderme é uniestratificada e o mesofilo é homogêneo; gotas lipídicas esféricas ocorrem em todos os tecidos, exceto no xilema. Idioblastos de oxalato de cálcio ausentes. Nas pétalas ocorrem cinco, raro quatro nervuras paralelas, as secundárias partindo da principal, ramificadas ou não; a epiderme apresenta células papilosas, menos proeminentes nas regiões dos bordos; grãos de amido elipsoides estão presentes no mesofilo. O filete, em vista frontal, possui cutícula estriada. A antera, em secção transversal, possui epiderme papilosa, o tapete é uniestratificado e o endotécio é formado por duas a três camadas de células fibrosas, com pontoações evidentes. O grão de pólen é prolato, tricolporado, com 18 a 34 µm de diâmetro, com superfície reticulada. O gineceu é formado por cinco, quatro ou raro três carpelos e cada cavidade apresenta um rudimento seminal; em secção transversal, o tecido parenquimático da parede carpelar é compacto, formado por células ricas em cloroplastídios



e gotas lipídicas; o parênquima mais interno é desprovido de cloroplastídios; as células epidérmicas do estigma são extremamente papilosas. Difere de *Sambucus nigra* por essa apresentar idioblastos de aspecto enegrecido, contendo cristais de oxalato de cálcio em forma de areia cristalina visíveis nas brácteas, sépalas e pétalas, além de geralmente três carpelos no ovário.

### C. Descrição microscópica do pó

A amostra satisfaz a todas as exigências estabelecidas para as flores dessa espécie, menos os caracteres macroscópicos. São características: coloração amarelo-esverdeada; fragmentos de epiderme com cutícula estriada de sépalas ou de pétalas papilosas; fragmentos de epiderme com estômatos anomocíticos; células-guarda isoladas; fragmentos de epiderme com tricomas tectores, de diferentes tipos; raros tricomas tectores e glandulares isolados ou partes destes; porções de tecidos com gotas lipídicas; parte de elementos traqueais de espessamento helicoidal; fragmentos de epiderme da antera, extremamente papilosa; fragmentos da camada fibrosa da antera; numerosos grãos de pólen como os descritos; grãos de pólen isolados ou agrupados, ou associados a fragmentos de anteras e à epiderme de diversas peças; porções de estigma com epiderme papilosa; porções de brácteas; porções do bordo de sépalas, de pétalas e de brácteas.

### D. Descrição macroscópica das impurezas

Os pedicelos da própria espécie são considerados estranhos; são esbranquiçados pela dessecação, longitudinalmente sulcados, medindo 1 a 6 mm de comprimento, com tricomas tectores e glandulares.

### E. Descrição microscópica das impurezas

O pedicelo, em vista frontal, apresenta cutícula estriada, células epidérmicas retangulares, estômatos anomocíticos e na porção basal, tricomas tectores e glandulares; em secção transversal, apresenta proeminências e reentrâncias acentuadas, cutícula estriada, epiderme uniestratificada, seguida geralmente por uma camada de colênquima tabular, seguido por um parênquima com amplos espaços intercelulares; o sistema vascular é formado por até 12 feixes colaterais, dispostos em forma de anel; a região medular é preenchida por parênquima com células de paredes delgadas; cloroplastídios ocorrem nos parênquimas; grãos de amido e gotas lipídicas ocorrem em todos os tecidos.

### F. Proceder conforme descrito em *Cromatografia em camada delgada* (5.2.17.1).

*Fase estacionária:* sílica-gel GF<sub>254</sub> (0,250 mm).

*Fase móvel:* acetato de etila, metiletilcetona, água, ácido fórmico anidro (50:30:10:10)

*Solução amostra:* transferir 0,5 g da amostra pulverizada (355 µm) (5.2.11) para um béquer e adicionar 5 mL de álcool metílico. Sonicar por 10 minutos. Centrifugar a 1000 × g por cinco minutos.

*Solução referência:* dissolver 1 mg de ácido cafeico, 1 mg de ácido clorogênico, 2,5 mg de hiperosídeo e 2,5 mg de rutina em 10 mL de álcool metílico.

*Procedimento:* aplicar na placa, separadamente, 4 µL da *Solução amostra* e 4 µL da *Solução referência*. Desenvolver o cromatograma por 6 cm. Remover a placa e deixar secar ao ar. Aquecer em estufa a 100 °C por cinco minutos e nebulizar com uma solução de ácido difenilbórico aminoetil éster a 1g/L em acetato de etila, em seguida com uma solução de macrogol 400 a 5% em cloreto de metileno. Deixar secar por 30 minutos. Examinar sob a luz do dia e a seguir sob a luz ultravioleta em 365 nm.

*Resultados:* nos esquemas a seguir há as sequências de zonas obtidas com a *Solução referência* e a *Solução amostra*, após exame sob a luz do dia e sob a luz ultravioleta em 365 nm, na ordem. Outras zonas podem, ocasionalmente, aparecerem.

<b>Parte superior da placa</b>	
Hiperosídeo: zona de coloração amarelo escuro	Zona de coloração laranja
Rutina: zona de coloração amarelo escuro	Zona de coloração amarelo escuro
<b>Solução referência</b>	<b>Solução amostra</b>

<b>Parte superior da placa</b>	
Ácido cafeico: zona de coloração azul fluorescente	Zona de coloração azul-fluorescente intensa
Hiperosídeo: zona de coloração amarelo escuro	Duas zonas de coloração azul-fluorescente intensa Zona de coloração laranja fluorescente
Ácido clorogênico: zona de coloração azul fluorescente	Zona de coloração azul-fluorescente intensa
Rutina: zona de coloração amarelo escuro	Zona de coloração laranja fluorescente
<b>Solução referência</b>	<b>Solução amostra</b>

**G.** Proceder conforme descrito em *Doseamento* para *Rutina*. O pico majoritário do cromatograma corresponde à rutina; observa-se um pico com tempo de retenção inferior com características de ácido

cafeoilquínico e três picos após a rotina, sendo que todos apresentam espectro de absorção no ultravioleta semelhante à rutina.

## TESTES

**Matéria estranha (5.4.1.3).** No máximo, 8,0% de pedicelos grosseiros e outros materiais estranhos. No máximo, 15% da amostra com coloração alterada (enegrecida).

**Perda por dessecação (5.2.9.1).** *Método gravimétrico.* No máximo 10,0%.

**Cinzas totais (5.4.1.5.1).** No máximo 9,5%.

**Contagem do número total de micro-organismos mesófilos (5.5.3.1.2).** Cumpre o teste.

**Pesquisa de micro-organismos patogênicos (5.5.3.1.3).** Cumpre o teste.

**Metais pesados (5.4.5).** Cumpre o teste.

**Resíduos de agrotóxicos (5.4.3).** Cumpre o teste.

## DOSEAMENTO

### Flavonoides totais

Proceder conforme descrito em *Espectrofotometria de absorção no visível (5.2.14)*. Preparar as soluções descritas a seguir.

*Solução estoque:* pesar, com exatidão, cerca de 0,1 g da droga pulverizada (800 µm) (5.2.11) e colocar em balão de fundo redondo de 100 mL. Acrescentar 0,25 mL de solução aquosa de metenamina a 0,5% (p/v), 10 mL de acetona e 0,5 mL de ácido clorídrico. Aquecer em banho-maria, sob refluxo, durante 30 minutos. Filtrar a mistura para balão volumétrico de 25 mL. Retomar o resíduo da droga e algodão ao mesmo balão de fundo redondo, adicionar 7 mL de acetona. Aquecer, sob refluxo, durante 10 minutos. Filtrar em algodão para o mesmo balão volumétrico de 25 mL. Repetir a operação, retornando o resíduo da droga e o algodão para o balão de fundo redondo, adicionar 7 mL de acetona e aquecer sob refluxo, durante 10 minutos. Filtrar para o mesmo balão volumétrico de 25 mL. Após resfriamento, à temperatura ambiente, completar o volume com acetona e homogeneizar. Para funil de separação, transferir 10 mL dessa solução, 10 mL de água e 10 mL de acetato de etila, extrair e repetir o processo por mais duas vezes, porém, utilizando 6 mL de acetato etila. Reunir as fases de acetato de etila, lavá-las em funil de separação com duas porções de 15 mL de água e transferi-las para balão volumétrico de 25 mL. Completar o volume com acetato de etila e homogeneizar.

*Solução amostra:* transferir 10 mL da *Solução estoque* para balão volumétrico de 25 mL, adicionar 1 mL de solução de cloreto de alumínio a 2% (p/v), completar o volume com solução de ácido acético a 5% (p/v) em álcool metílico e homogeneizar.

*Solução branco:* transferir 10 mL da *Solução estoque* para balão volumétrico de 25 mL e completar o volume com solução de ácido acético a 5% (p/v) em álcool metílico.

*Procedimento:* medir a absorvância da *Solução amostra* em 425 nm 30 minutos após seu preparo, utilizando a *Solução branco* para o ajuste do zero. Calcular o teor de flavonoides totais, expressos como quercetina, em porcentagem, segundo a expressão:

$$TF = \frac{A \times 156,25}{m \times 500}$$

em que,

TF = teor de flavonoides totais, expressos em quercetina % (p/p);

A = absorvância medida para a *Solução amostra*;

156,25 = fator de diluição;

500 = coeficiente de absorção específica da quercetina;

m = massa em gramas da amostra utilizada, considerando a perda por dessecação.

### Rutina

Proceder conforme descrito em *Cromatografia a líquido de alta eficiência (5.2.17.4)*. Utilizar cromatógrafo provido de detector ultravioleta a 356 nm; pré-coluna empacotada com sílica quimicamente ligada a grupo octadecilsilano; coluna de 150 mm de comprimento e 3,9 mm de diâmetro interno, empacotada com sílica quimicamente ligada a grupo octadecilsilano (4 µm), mantida à temperatura ambiente; fluxo da *Fase móvel* de 0,7 mL/minuto.

*Eluente (A):* água, acetonitrila e ácido trifluoracético (95:5: 0,01).

*Eluente (B):* acetonitrila e ácido trifluoracético (100:0,01).

<i>Tempo (minutos)</i>	<i>Eluente (A) %</i>	<i>Eluente (B) %</i>	<i>Eluição</i>
0 – 7	90 → 70	10 → 30	gradiente linear
7 – 8	70 → 0	30 → 100	gradiente linear
8 – 11	0	100	isocrática
11 – 12	0 → 90	100 → 10	gradiente linear
12 – 18	90	10	isocrática

*Solução amostra:* pesar, com exatidão, cerca de 0,25 g da droga seca e pulverizada (800 µm) (5.2.11), colocar em frasco de vidro e agitar por turbólise, velocidade 3, durante cinco minutos, com 5 mL de álcool etílico a 80% (v/v). Filtrar em papel de filtro, sob vácuo, para balão volumétrico de 5 mL, completar o volume com o mesmo solvente e homogeneizar. Diluir 50 µL em 0,95 mL de mistura de acetonitrila e água (1:9). Homogeneizar. Filtrar em unidade filtrante de 0,45 µm.

*Solução referência:* dissolver 5 mg de rutina SQR em 10 mL de álcool metílico.

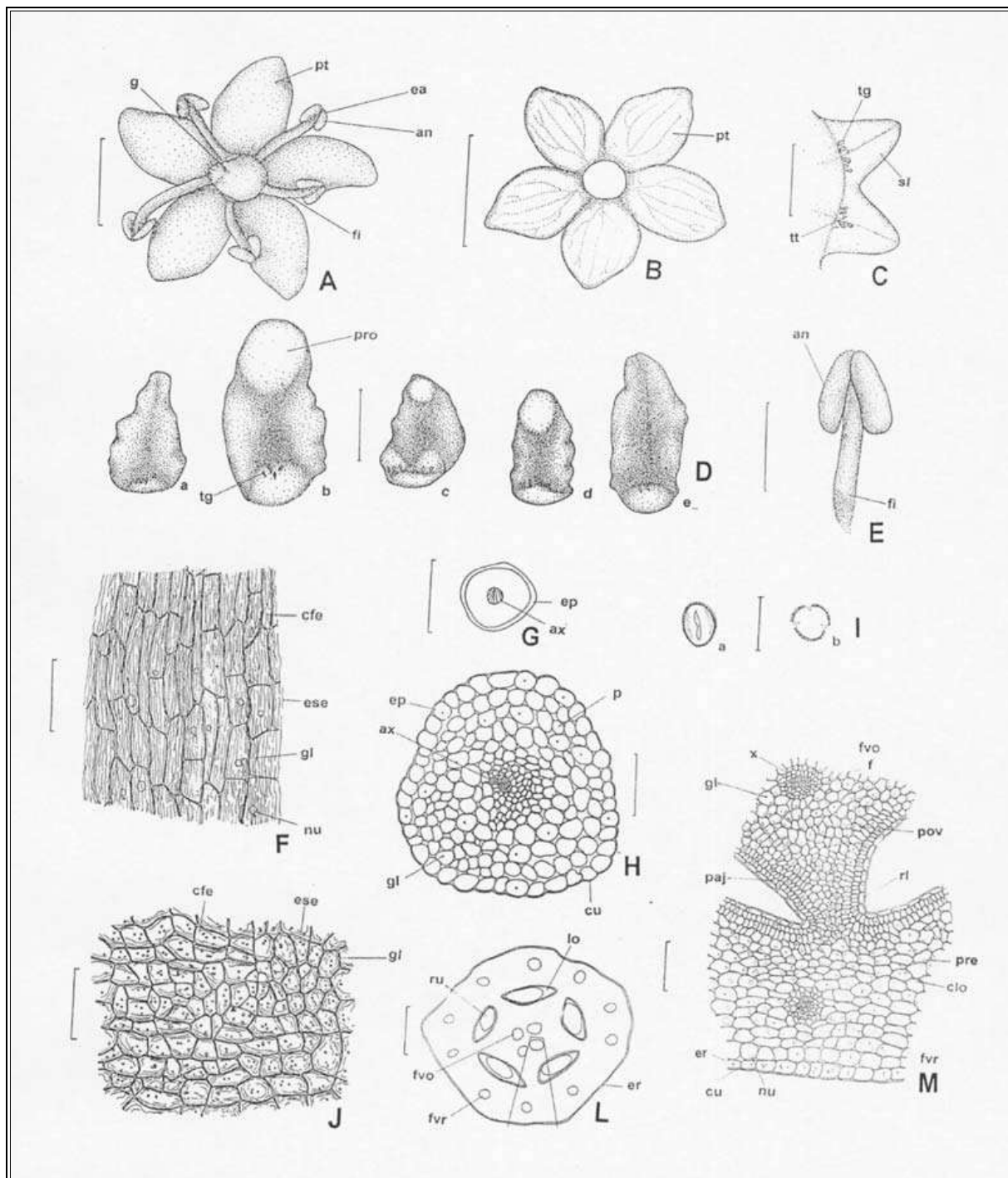
*Soluções para curva analítica:* diluir uma alíquota de 2,5 mL da *Solução referência* em balão volumétrico de 25 mL de modo a obter solução a 50 µg/mL. Diluir alíquotas de 1 mL, 1,5 mL, 2 mL, 2,5 mL, 3 mL, 3,5 mL, 4 mL e 4,5 mL em balão volumétrico de 5 mL, com álcool metílico, de modo a obter concentrações de 10 µg/mL, 15 µg/mL, 20 µg/mL, 25 µg/mL, 30 µg/mL, 35 µg/mL, 40 µg/mL e 45 µg/mL. Filtrar em unidade filtrante de 0,45 µm.

*Procedimento:* injetar, separadamente, 10 µL das *Soluções para curva analítica* e 10 µL da *Solução amostra*. Registrar os cromatogramas e medir as áreas sob os picos. O tempo de retenção é de aproximadamente cinco minutos para a rotina. Calcular o teor de rutina na amostra a partir da equação

da reta obtida com a curva analítica. O resultado é expresso pela média das determinações em gramas de rutina, em porcentagem, considerando a perda por dessecação.

## EMBALAGEM E ARMAZENAMENTO

Em recipiente hermeticamente fechado ao abrigo da luz e do calor.

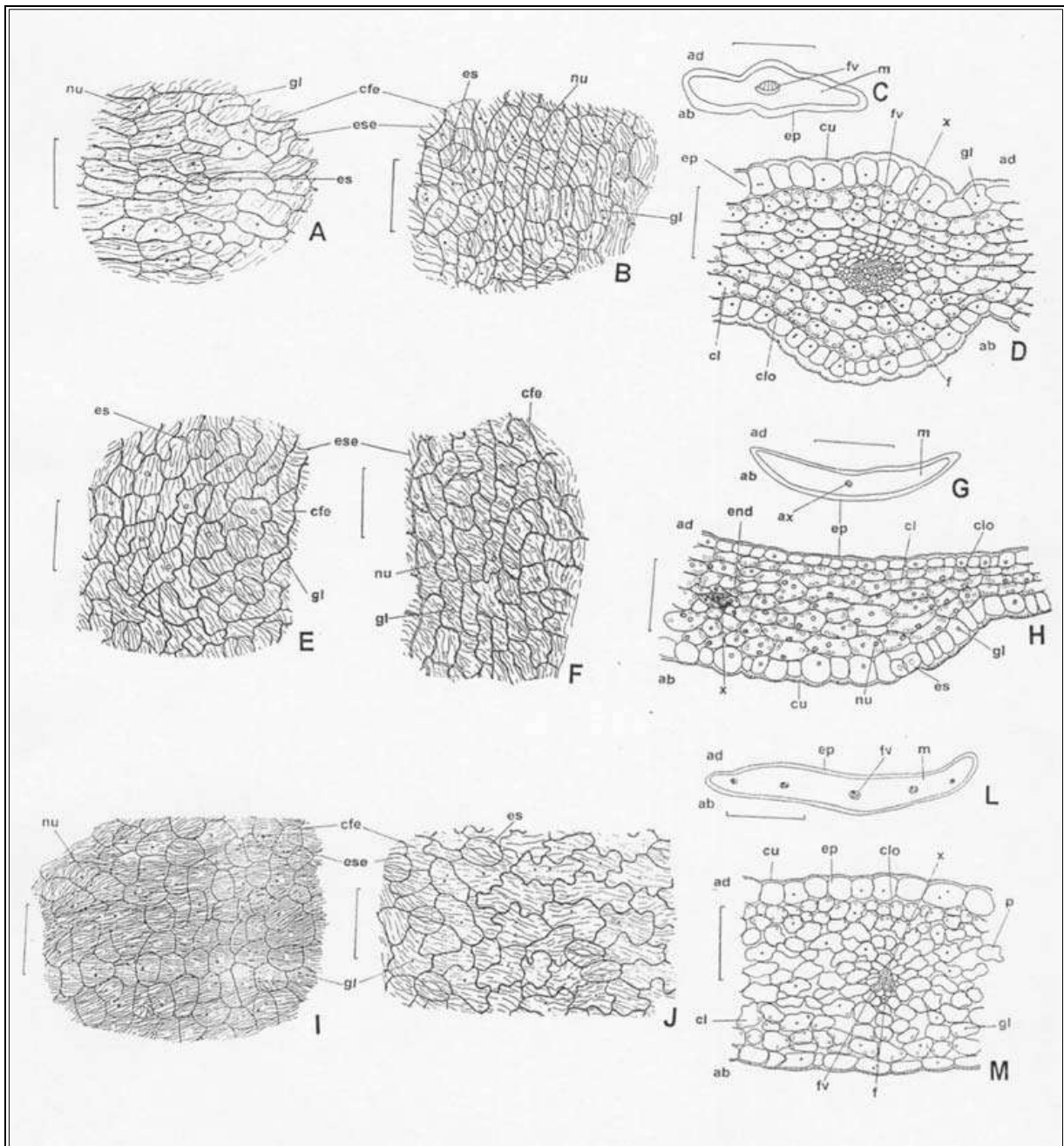


**Figura 1** – Aspectos macroscópicos, microscópicos e microscópicos do pó em *Sambucus australis* Cham. & Schltdl.

As régua correspondem em **A** e **E** a 2,5 mm; em **B** a 5 mm; em **C** e **D** a 1,0 mm; em **F**, **H**, **J** e **M** a 100 µm; em **G** e **L** a 400 µm; em **I** a 30 µm.

**A** – aspecto geral da flor estaminada, em vista frontal: antera (an); estame (ea); filete (fi); gineceu (g); pétala (pt). **B** – aspecto geral da corola desprendida, em vista frontal: pétala (pt). **C** – aspecto geral de parte do cálice, mostrando a face

adaxial de duas sépalas, em vista frontal: sépala (sl); tricoma glandular (tg); tricoma tector (tt). **D** – aspecto geral da face adaxial de brácteas, em vista frontal, evidenciando suas distintas formas: bráctea triangular (a); brácteas elípticas (b, c); brácteas oblongas (d, e); proeminência apical (pro); tricoma glandular (tg). **E** – aspecto geral do estame em posição lateral: antera (an); filete (fi). **F** – detalhe de porção da epiderme do filete, em vista frontal: célula fundamental da epiderme (cfe); estrias epicuticulares (ese); gota lipídica (gl); núcleo (nu). **G** – esquema geral do filete, em secção transversal: epiderme (ep); agrupamento xilemático (ax). **H** – detalhe do filete em secção transversal: agrupamento xilemático (ax); cutícula estriada (cu); epiderme (ep); gota lipídica (gl); parênquima (p). **I** – esquema geral grão de pólen: vista polar (a); vista equatorial (b). **J** – detalhe de porção da epiderme de receptáculo, em vista frontal: célula fundamental da epiderme (cfe); estrias epicuticulares (ese); gota lipídica (gl). **L** – esquema geral do receptáculo e do ovário, em secção transversal: epiderme do receptáculo (er); feixe vascular do ovário (fvo); feixe vascular do receptáculo (fvr); lóculo (lo); rudimento seminal (ru). **M** – detalhe de porção do receptáculo e do ovário, em secção transversal, conforme destacado em **L**: cutícula estriada (cu); cloroplastídio (clo); epiderme do receptáculo (er); feixe vascular do ovário (fvo); feixe vascular do receptáculo (fvr); gota lipídica (gl); núcleo (nu); parênquima de células justapostas (paj); parênquima do ovário (pvo); parênquima do receptáculo (pre); revestimento do lóculo (rl); xilema (x).

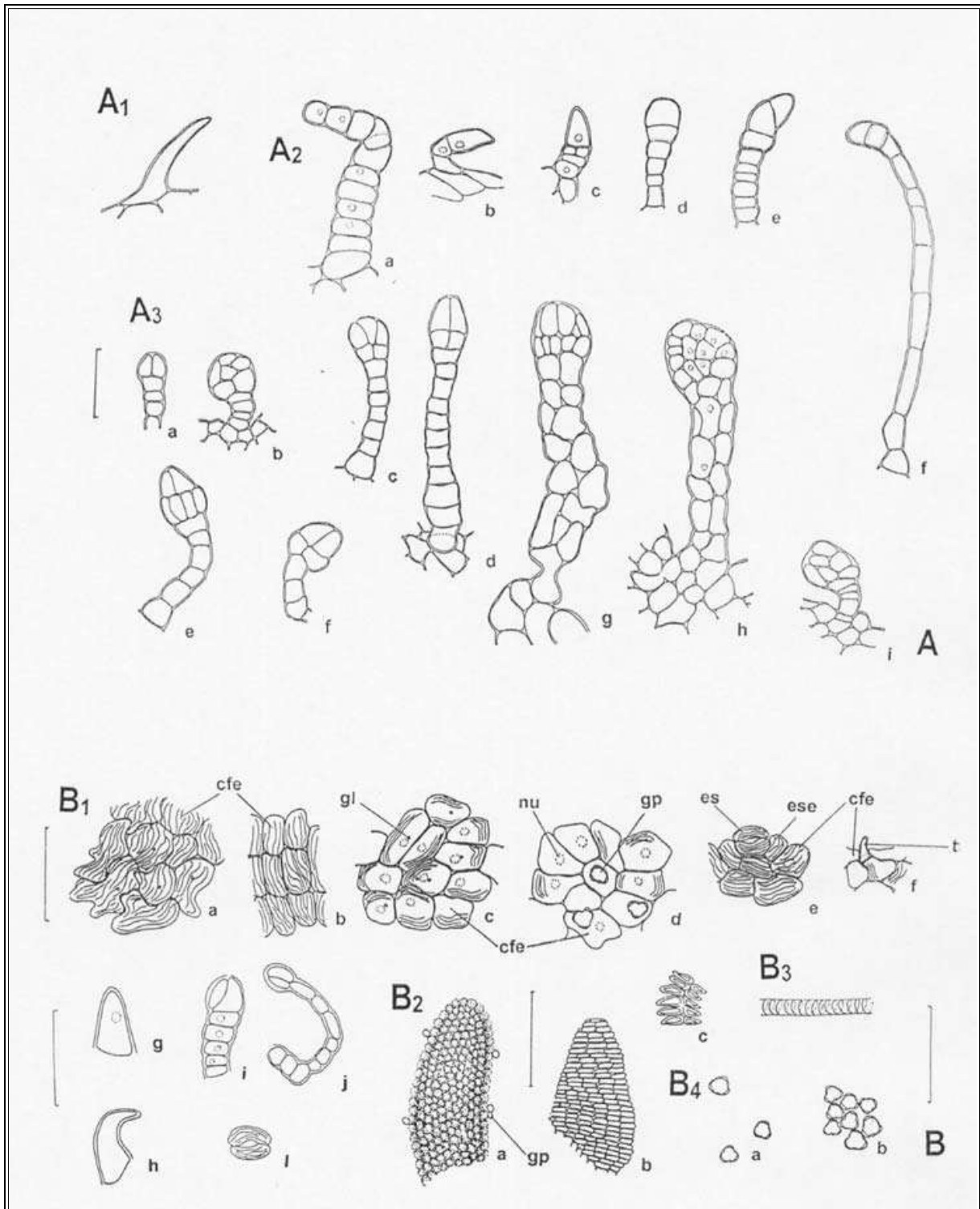


**Figura 2** – Aspectos microscópicos e microscópicos do pó em *Sambucus australis* Cham. & Schldl.

As régulas correspondem em **A, B, D, E, F, H, I, J** e **M** a 100 μm; em **C** e **G** a 400 μm; em **L** a 800 μm.

**A** – detalhe de porção da face adaxial da epiderme da bráctea, em vista frontal: célula fundamental da epiderme (cfe); estômato (es); estrias epicuticulares (ese); gota lipídica (gl); núcleo (nu). **B** – detalhe de porção da face abaxial da epiderme

da bráctea, em vista frontal: célula fundamental da epiderme (cfe); estômato (es); estrias epicuticulares (ese); gota lipídica (gl); núcleo (nu). **C** – esquema geral da bráctea, em secção transversal: face abaxial (ab); face adaxial (ad); epiderme (ep); feixe vascular (fv); mesofilo (m). **D** – detalhe da região da nervura principal da bráctea, em secção transversal: face abaxial (ab); face adaxial (ad); clorênquima (cl); cloroplastídio (clo); cutícula estriada (cu); epiderme (ep); floema (f); feixe vascular (fv); gota lipídica (gl); xilema (x). **E** – detalhe de porção da face adaxial da epiderme da sépala, em vista frontal: célula fundamental da epiderme (cfe); estrias epicuticulares (ese); gota lipídica (gl); núcleo (nu). **F** – detalhe de porção da face abaxial da epiderme da sépala, em vista frontal: célula fundamental da epiderme (cfe); estômato (es); estrias epicuticulares (ese); gota lipídica (gl); núcleo (nu). **G** – esquema geral da sépala, em secção transversal: face abaxial (ab); face adaxial (ad); agrupamento xilemático (ax); epiderme (ep); mesofilo (m). **H** – detalhe de porção da sépala, em secção transversal: face abaxial (ab); face adaxial (ad); clorênquima (cl); cloroplastídio (clo); cutícula estriada (cu); endoderme (end); epiderme (ep); estômato (es); gota lipídica (gl); núcleo (nu); xilema (x). **I** – detalhe de porção da face adaxial da epiderme da pétala, em vista frontal: célula fundamental da epiderme (cfe); estrias epicuticulares (ese); gota lipídica (gl); núcleo (nu). **J** – detalhe de porção da face abaxial da epiderme da pétala, em vista frontal: célula fundamental da epiderme (cfe); estômato (es); estrias epicuticulares (ese); gota lipídica (gl). **L** – esquema geral da pétala, em secção transversal: face abaxial (ab); face adaxial (ad); epiderme (ep); feixe vascular (fv); mesofilo (m). **M** – detalhe de porção da pétala, na região da nervura principal, em secção transversal: face abaxial (ab); face adaxial (ad); clorênquima (cl); cloroplastídio (clo); cutícula estriada (cu); epiderme (ep); floema (f); feixe vascular (fv); gota lipídica (gl); parênquima (p); xilema (x).



**Figura 3** – Aspectos microscópicos e microscópicos do pó em *Sambucus australis* Cham. & Schltdl.

As réguas correspondem em **A**, **B1**, **B2 c** e em **B3 a B5** a 100  $\mu\text{m}$ ; em **B2 a e b** a 400  $\mu\text{m}$ .

**A** – detalhe de tricomas ocorrentes em brácteas, sépalas e pétalas: **A1** = tricoma tector unicelular; **A2** = tricomas tectores pluricelulares; **A3** = tricomas glandulares. **B** – detalhes do pó. **B1** = porções de epiderme (a, b, c, d, e, f, g, h, i, j, l): fragmentos de epiderme em vista frontal (a, b, c, d, e) e em vista lateral (f), porções de tricomas tectores (g, h), porções de tricomas glandulares com cabeça pluricelular (i, j), células-guarda isoladas (l); célula fundamental da epiderme (cfe); estômato (es); estrias epicuticulares (ese); gota lipídica (gl); grão de pólen (gp); núcleo (nu); tricoma tector (tt). **B2** = fragmentos da antera: porção convexa (a), porção côncava (b), fragmento da camada fibrosa de antera (c); grão de pólen (gp). **B3** = porção de elemento traqueal com espessamento helicoidal. **B4** = grãos de pólen: isolados (a), agrupados (b).